

中央大学理学部 学生員 大野 鑑
同 上 正員 首藤 伸夫

1. はじめに

海面上に放出した石油はさまざまの因子の影響の下で拡がり移動する。ここでは周囲水と石油との間に作用する諸因子による拡がりを考える。

F_{ag} によると静水上に放出された一定量の油の拡がりは 重力、表面張力（油を揚げようとする力）、慣性力、粘性力（拡がりを妨げようとする力）によって決定され 時間的に三つの領域に分けられる。初め重力と慣性力のつり合っていた拡がり（重力・慣性域）がやがて時間がたつと慣性力に代って水の粘性による抵抗をうけるようになる（重力・粘性域）。さらに油膜が薄くなると表面張力と粘性によてその運動が決まる（表面張力・粘性域）。

今回はこの拡がりの初期の段階である重力・慣性域での油の拡がり速度およびその導動に関する実験結果を報告する。この領域での油の拡がりは重力流として取り扱われ、その先端の速度を一般化した波速 $v = \frac{g}{\rho} \sqrt{\frac{h}{\eta}}$ がいかに表現されるかということが問題となっている。従来から研究されている海水中に進入する塩水による重力流、あるいは大気重力流の観測などから v はさまざまな値が報告されており常数とはなっていない。その理由として Benjamin によると重力流のモデルは lock exchange flow と starting flow の二種に大別でき、それらは重力流の上下層間に相対速度の違いがあることなどから異なる値をとるとされている。さらに石油と水とではその粘性が著しく異なることを考慮すると v の値はその影響を考慮に入れる必要があると考え、軽油を使って室内実験から、その波速 v を求めることとする。

2. 実験方法

図-1に示すように 定水頭水槽に常に水を送り続け、水頭を一定にした状態でコックを開き、一定流量の軽油を密閉した油貯留タンクから一定水深の静止水を湛えた水路（長さ4m、幅20cm）に連続的に放出する。その後に定水頭水槽から油貯留タンクに送り続けている水の流量を測定すると同時に、T.V.カメラで油膜の先端を追跡し ビデオ装置に組み入れた時計とで その位置と時間を測定する。後にこれから先端速度 v を求める。また油層厚さは水路の放出塙から 1.2m 下流のところの水路側面から写真撮影によって測定する。

各実験ごとに 油の放出量を定水頭水槽からの水の流量をバルブで調節することによって変え、水路の静止水の水深 h を水路両端の壇を入れ換えて調節する。

なお 油膜先端の速度は 例えば水路上のある点（あるいは放出後のある時間だけ経過した時）の前後50cmの1m区間での平均速度をその点（その経過時間）での速度とし、放出塙から下流方向に10cm間隔でこの方法により速度を求めた。このようにして得られた速度の変化と写真から得られた油膜厚の変化を比較しつつ定常状態に達する区間を見出した。

その測定結果の例が図-2である。この図では放出開始（0秒）からの経過時間に対する速度および油膜厚さと、それから得られる波速 v を載せてある。 v 、 h 、 η の各々の値は図-2で一定に達したと思われる下限の平均値をその値とした。

図-1 実験装置

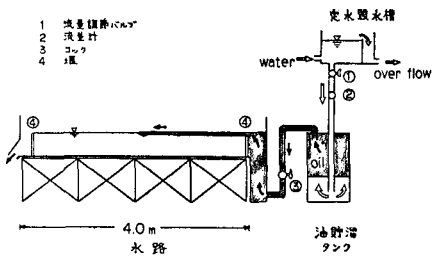
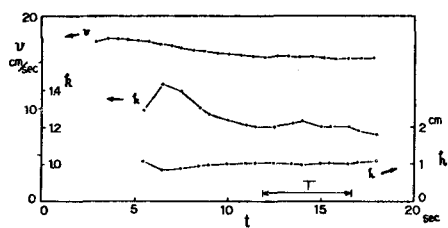


図-2 実測結果の一例



3. 実験結果

図-3に示すように1~1.45の範囲にわたる λ の値が得られた。パラメタとしたRe数は $Re = v \cdot h / \nu$ で、これは軽油の動粘性係数で0.055~0.061(%)であった。このRe数によつて λ は図のように整理されRe数が大きくなる程、 λ も大きい値をとるようになる。BenjaminおよびWilkinson & Woodの解析結果は図に破線で示してある。重力流の波速がRe数に依存するらしいということは淡・塩水での実験(Wilkinson, Wood)本も報告されているが、図-4でこれらとの比較を行なっている。この図でのRe数は $Re = g \cdot h / \nu$ である。ここに g は単位幅当たりの流量である。

パラメタを h/d にとると図のようにになり水深の影響をも受けすることが窺われる。このことは図-5に示した油の運動にも見られる。こう図-4で淡・塩水での結果に比べ、軽油での λ の値は水路底面での摩擦の影響がないためかあるいは表面張力の影響によるものか全体的に大きくなっている。なお図-3と図-4でのRe数の定義が異なっているが、軽油での実験結果では、ほぼ等しい値であった。

図-5は流れしていく軽油の先端部数10cmについて、次の四つの流れの型に分類したものである。A型：油膜前面は平坦で顕著な内部波は見られない
B型：前面が陥しくなり内部波が見られる C型：内部波が碎波し内部跳水となる D型：先端部分が厚くなっているが顕著な内部波は見られない。
その結果は図-5に示したようになり図-3と対応させてみると 水深の大きいとき(h/d が小さい)にはRe数約200でA型の流れからB型の流れに移りRe数が約500でC型になる。しかし水深が浅くなるとC型はみられず D型のようになる。

4. 結論

$\lambda \sim h/d$ の関係がRe数をパラメタとすることにより図-3のよう整理できた。 λ はまた水深の影響をも受けるようであり流れの型が λ , Re, h/d について四つの領域に分けられた。

今後水路を拡張し観測時間を長くすると同時に粘性、表面張力の異なる別種の油との比較を行ないたいと考えている。

なお 当時 卒論生であった 松平章、菊田健二両君に実験の協力をしていただきたい。ここに記して謝意を表する。

参考文献

首藤、大野：海面上の石油の拡散(第一報) 土木学会関東支部

1975年 1月

首藤：海での石油の拡がり 土木学会環境問題シンポジウム

1975年 8月

首藤、大野：海面上の石油の拡がり(第二報) 土木学会年講

1975年 10月

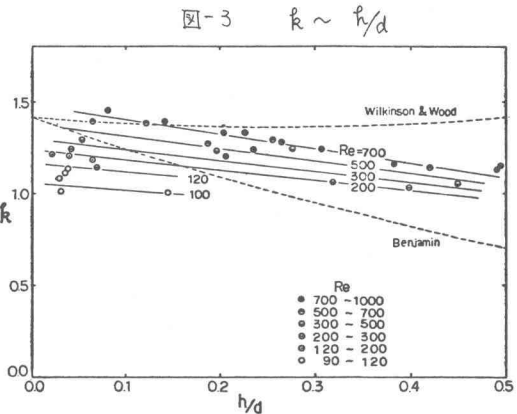


図-4 $\lambda \sim Re$

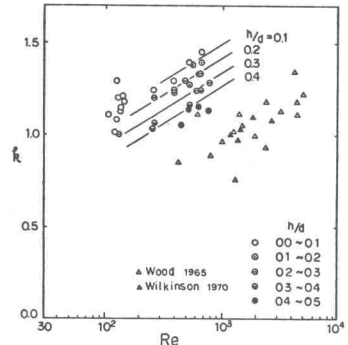


図-5 流れの四つの型

